

УДК 537.611.8

**СВОЙСТВА ДГ И ИХ ОСОБЕННОСТИ  
В БЛИЗИ СПИН-ПЕРЕОРИЕНТАЦИОННЫХ ФАЗОВЫХ ПЕРЕХОДОВ  
В КУБИЧЕСКИХ ФЕРРОМАГНЕТИКАХ  
ПРИ ДЕЙСТВИИ УПРУГИХ НАПРЯЖЕНИЙ**

*P. M. Вахитов, Р. М. Сабитов*

В кубических кристаллах с учетом первой и второй констант кубической анизотропии теоретически исследованы возможные магнитные фазы и спин-переориентационные фазовые переходы между ними, индуцированные внешними напряжениями. Изучены структура и устойчивость доменных границ в зависимости от температуры и давления. Показано, что переориентация доменной стенки относительно кристаллографических осей при определенных условиях сопровождается гистерезисом. Найдены динамические характеристики стационарного движения стенки и проведен анализ их поведения вблизи спин-переориентационных фазовых переходов.

1. В настоящее время интенсивно изучаются магнитные свойства кристаллов, сочетающих два и более видов анизотропий, имеющих различную природу возникновения. Наличие такой комбинированной анизотропии присуще широкому кругу магнитных материалов и сильно сказывается на их физических свойствах. Так, для пленок ферритов-гранатов является характерным сочетание естественной кристаллографической (кубической) и наведенной одноосной анизотропий, что приводит к существованию в них спин-переориентационных фазовых переходов (СПФП) по температуре и по полю [<sup>1-3</sup>], к возникновению новых доменных структур [<sup>4, 5</sup>], к аномалии динамических свойств [<sup>6, 7</sup>] и т. д. Такая же ситуация возникает в фотомагнитных материалах типа CdCr<sub>2</sub>Se<sub>4</sub> при их освещении [<sup>8</sup>], при воздействии на кубические магнетики внешних упругих напряжений [<sup>9</sup>]. В последнем случае регулируемая по величине и знаку одноосная анизотропия приводит к появлению СПФП по давлению и, в частности, в реальных кристаллах вблизи дислокаций могут возникнуть дополнительные магнитные фазы и связанные с ними СПФП [<sup>2</sup>].

В данной работе исследуется влияние одноосных напряжений на статические и динамические свойства доменных границ (ДГ) в кубических кристаллах. Известно, что плотность энергии магнитной анизотропии  $\varepsilon_k$  для кристаллов кубической симметрии имеет вид

$$\varepsilon_k = K_1 (m_x^2 m_y^2 + m_x^2 m_z^2 + m_y^2 m_z^2) + K_2 m_x^2 m_y^2 m_z^2 + \dots, \quad (1)$$

где  $m_i$  ( $i=x, y, z$ ) —  $i$ -я компонента единичного вектора намагниченности  $\mathbf{m} = \mathbf{M}/M_s$  ( $M_s$  — намагниченность насыщения);  $K_1$ ,  $K_2$  — первая и вторая константы кубической анизотропии (КА). Температурные зависимости  $K_1$  и  $K_2$  существенно отличаются; при нормальных условиях  $|K_1| \gg |K_2|$  и в выражении (1) достаточно учесть первое слагаемое. При понижении температуры, как правило  $|K_2|$  растет значительно быстрее, чем  $|K_1|$ , и начиная с некоторой температуры выполняется соотношение  $|K_2| \geq |K_1|$  (так, например [<sup>10</sup>], для Tb<sub>3</sub>Fe<sub>5</sub>O<sub>12</sub> при  $T=78$  К  $K_2/K_1 \sim \sim 10$ ). Аналогичное положение можно создать и при комнатных температурах, меняя состав материала [<sup>11</sup>], однако в дальнейшем для определенности будем считать ситуацию с  $|K_1| \gg |K_2|$  высокотемпературной

областью, а с  $|K_2| \geq |K_1|$  низкотемпературной. Из сказанного следует, что в низкотемпературной области необходимо учесть вклад в  $\varepsilon_k$  второго слагаемого выражения (1). Исходя из этого, энергию магнитных неоднородностей в кубических кристаллах при наличии внешних упругих напряжений запишем в виде

$$E = \int_{-\infty}^{\infty} \left\{ A \left[ \left( \frac{d\theta}{dy} \right)^2 + \sin^2 \theta \left( \frac{d\varphi}{dy} \right)^2 \right] + K_1 [\sin^4 \theta \sin^2 (\varphi - \varphi_0) \cos^2 (\varphi - \varphi_0) + \right. \right. \\ \left. \left. + \sin^2 \theta \cos^2 \theta] + K_2 \sin^4 \theta \cos^2 \theta \sin^2 (\varphi - \varphi_0) \cos^2 (\varphi - \varphi_0) \right. \right. \\ \left. \left. + B_1 [\sin^2 \theta (\cos^2 (\varphi - \varphi_0) u_{xx} + \sin^2 (\varphi - \varphi_0) u_{yy}) + \cos^2 \theta u_{zz}] + \right. \right. \\ \left. \left. + B_2 [\sin^2 \theta \sin 2(\varphi - \varphi_0) u_{xy} + \sin 2\theta (\sin (\varphi - \varphi_0) u_{yz} + \cos (\varphi - \varphi_0) u_{xz})] + \right. \right. \\ \left. \left. + \frac{1}{2} c_{11} (u_{xx}^2 + u_{yy}^2 + u_{zz}^2) + c_{12} (u_{xx} u_{yy} + u_{yy} u_{zz} + u_{xx} u_{zz}) + \right. \right. \\ \left. \left. + 2c_{44} (u_{xy}^2 + u_{xz}^2 + u_{yz}^2) - \sigma_{ij} u_{ij} + 2\pi M_s^2 (\sin \theta \sin \varphi - \sin \theta_\infty \sin \varphi_\infty)^2 \right\} dy. \quad (2) \right.$$

Здесь  $\theta, \varphi$  — полярный и азимутальный углы вектора  $\mathbf{M}$ ;  $\theta_\infty, \varphi_\infty$  — значения этих углов в доменах;  $A$  — обменный параметр;  $B_i, c_{ij}$  — магнитоупругие и упругие константы;  $\sigma_{ij}, u_{ij}$  — компоненты тензора внешних напряжений и деформации. Система координат  $Oxyz$  выбрана так, что  $Oz \parallel [001]$ , ось  $Ox$  образует угол  $\varphi_0$  с осью [100], а ось  $Oy$  перпендикулярна плоскости ДГ. Будем считать, что внешнее одноосное напряжение  $\sigma$  приложено вдоль оси [001], тогда  $\sigma_{ij} u_{ij} = \sigma u_{zz}$ . В этом случае минимизация (2) по  $u_{ij}$  приводит к перенормировке констант КА, в частности

$$K'_1 = K_1 + \frac{9}{4} \lambda_{100}^2 (c_{11} - c_{12}) - \frac{9}{2} \lambda_{111}^2 c_{44},$$

$$\lambda_{111} = -B_2/3c_{44}, \quad \lambda_{100} = -2B_1/[3(c_{11} - c_{12})].$$

Однородные магнитные состояния в кубическом ферромагнетике с  $\sigma \parallel [001]$

Обозначение фаз	Направление вектора $\mathbf{M}$ в кристалле	Область существования фаз	Область, в которой фазы устойчивы
$\Phi_{[001]}$	$\theta = 0, \pi; \mathbf{M} \parallel [001]$	$x_1 > -1$	$x_1 > -1, x_2 > -3;$ $x_1 > f_1(x_2), x_2 < -3$
$\Phi_{[100]}$	$0 = \frac{\pi}{2}; \varphi = 0, \frac{\pi}{2};$ $\mathbf{M} \parallel [100], [010]$	$x_1 > 1$	—
$\Phi_{[110]}$	$\theta = \frac{\pi}{2}; \varphi = \frac{\pi}{4}, \frac{3\pi}{4};$ $\mathbf{M} \parallel [110], [\bar{1}10]$	$\frac{1}{2}(4-x_2) < x_1 < 0, x_2 > 4$	—
$\Phi_{<}^I$	$\sin \theta = \pm \sqrt{s_1}; \varphi = \frac{\pi}{4},$ $\frac{3\pi}{4}$	$x_1 < f_4(x_2), x_2 < -3;$ $x_1 < -1, x_2 > -3$	$x_1 < f_1(x_2), x_2 < -3;$ $x_1 < -1, -3 < x_2 < 1;$ $x_1 < f_2(x_2), x_2 > 1$
$\Phi_{<}^{II}$	$\sin \theta = \pm \left( \frac{1+x_1}{2x_1} \right)^{1/2};$ $\varphi = 0, \frac{\pi}{2}$	$f_5(x_2) < x_1 < -1, x_2 > 1$	$f_2(x_2) < x_1 < -1, x_2 > 1$
$\Phi_{<}^{III}$	$\sin \theta = \pm \sqrt{s_2}; \varphi = \frac{\pi}{4},$ $\frac{3\pi}{4}$	$x_2 < f_3(x_2) < x_1 < f_4(x_2),$ $-12 < x_1 < f_4(x_2),$ $-12 < x_2 < -3$	—

П р и м е ч а н и е. Прочерк в последнем столбце означает, что данное магнитное состояние при  $K_u > 0$  метастабильно.

и к возникновению наведенной внешними упругими напряжениями односной анизотропии, плотность энергии которой имеет вид

$$\varepsilon_u = K_u \sin^2 \theta, \quad K_u = 3/2\lambda_{100}\sigma. \quad (3)$$

Для исследования структуры и свойств магнитных неоднородностей необходимо знать спектр однородных магнитных состояний данного кристалла, которое находится из условия минимума  $E$ , полагая в (2) равным нулю первое и последнее слагаемое, а также  $\phi_0$ . Для случая  $K_u > 0$  полученные результаты, совпадающие с [9], приведены на рис. 1 и в таблице,

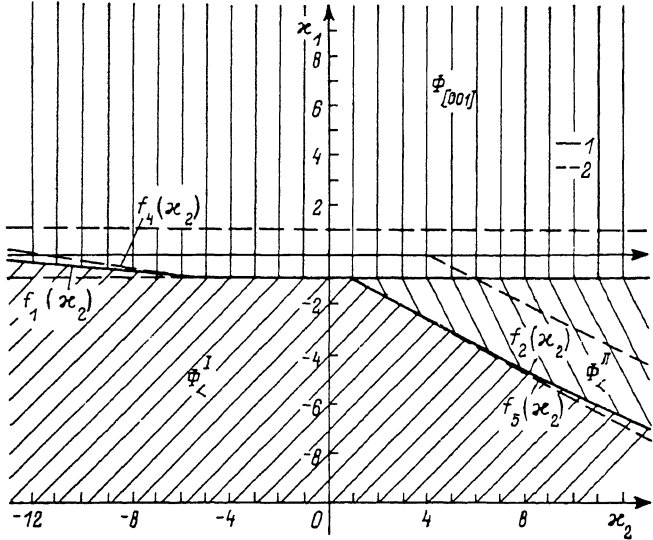


Рис. 1. Фазовая диаграмма кубического ферромагнетика с  $\sigma \parallel [001]$ .  $K_u > 0$ .

1 — границы устойчивых состояний вектора  $M$ , 2 — границы метастабильных состояний. Устойчивые состояния вектора  $M$  (заштрихованные области) отличаются от метастабильных тем, что они энергетически более выгодны.

где введены обозначения:  $x_1 = K'_1/K_u$ ,  $x_2 = K_2/K_u$ . Кривые  $x_1 = f_i(x_2)$  определяются из уравнений

$$x_1 = f_1(x_2) : 1 + x_1 - \frac{1}{4}(3x_1 - x_2)s_1 - \frac{x_2}{4}s_1^2 = 0,$$

$$x_1 = f_2(x_2) : 1 + x_1 - \frac{1}{4}(3x_1 - x_2)s_1 - \frac{x_2}{4}s_1^2 = \frac{(1+x_1)^2}{4x_1},$$

$$x_1 = f_3(x_2) : 12 + x_2 - 2(3x_1 - x_2)s_2 = 0, \\ s_{1,2} = -\frac{3x_1 - x_2 \pm \sqrt{(3x_1 - x_2)^2 - 12(1+x_1)x_2}}{3x_2} \quad (4)$$

либо задаются формулами

$$x_1 = f_4(x_2) = -1/3(x_2 + \sqrt{12|x_2|}), \quad x_1 = f_5(x_2) = 1/4(x_2 + \sqrt{x_2^2 + 8x_2}). \quad (5)$$

Точка  $x_1 = -1$ ,  $x_2 = -3$  на фазовой диаграмме является трикритической, а точка  $x_1 = -1$ ,  $x_2 = 1$  — тройной. Здесь СПФП могут быть как I, так II рода в отличие от кубического ферромагнетика, где в отсутствие внешних воздействий возможны только СПФП I рода [12]. С другой стороны, в случае  $K_2 = 0$  и при наличии внешних напряжений в этом кристалле возможен только СПФП II рода [5].

2. Структуру магнитных неоднородностей типа ДГ можно определить из решений уравнений Эйлера, минимизирующих функционал по переменным  $\theta$ ,  $\varphi$  и  $\phi_0$

$$\delta E/\delta\theta = 0, \quad \delta E/\delta\varphi = 0, \quad \delta E/\delta\phi_0 = 0 \quad \text{при } \delta^2 E > 0. \quad (6)$$

Первый интеграл уравнений (6) для блоховских ДГ ( $\varphi=0, \pi$ ) с ориентацией, определяемой углом  $\varphi_0=\pi n/4$  ( $n=0, \pm 1, \pm 2, \dots$ ), имеет вид

$$\left(\frac{d\theta}{dy}\right)^2 - \frac{\sin^2 \theta}{\Delta_0^2} [1 + z_1(1-p)\sin^2 \theta + z_2 p \sin^2 \theta \cos^2 \theta] = C, \quad (7)$$

где  $p=\sin^2 \varphi_0 \cos^2 \varphi_0$ ;  $\Delta_0=\sqrt{A/K_u}$  — эффективная ширина ДГ в одноосном кристалле;  $C$  — константа интегрирования. В области существования фазы  $\Phi_{[001]}$  (рис. 1) уравнение (7) для  $C=0$  имеет решение, соответствующее  $180^\circ$  ДГ с  $M \parallel [001]$  в доменах, но зависимость  $\theta=\theta(y)$  в явном виде через известные функции не удается записать. Однако, используя первый и второй интегралы уравнений (6), можно определить ширину  $\Delta$  и энергию  $E$  ДГ как функцию параметров  $z_1$ ,  $z_2$  и  $\varphi_0$ , а также исследовать ее

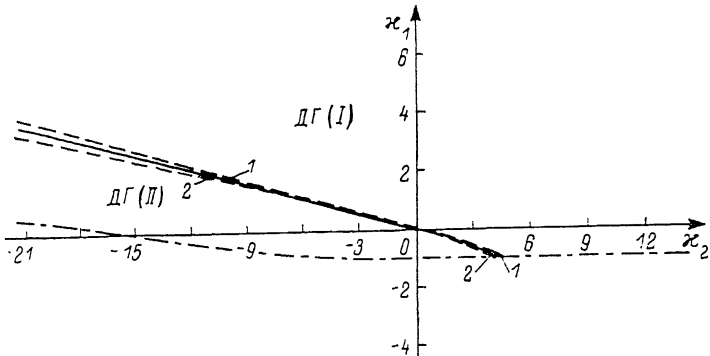


Рис. 2. Диаграмма устойчивых состояний  $180^\circ$  ДГ с  $M \parallel [001]$  в доменах для обеих ее ориентаций относительно кристаллографических осей.

Штрихпунктирная кривая соответствует границе устойчивости ДГ с  $M \parallel [001]$  в доменах, 1 — границе устойчивости ДГ (II), 2 — ДГ (I), сплошная кривая — границе переориентации ДГ ( $\text{ДГ(I)} \rightleftharpoons \text{ДГ(II)}$ ).

устойчивость в смысле выполнения условия  $\delta^2 E > 0$ , которое аналогично [18] сводится к виду

$$\cos 4\varphi_0 (z_1 J_3 + z_2 J_4) > 0, \quad (8)$$

где

$$J_3 = \int_0^1 \frac{1-u^2}{D(u)} du, \quad J_4 = \int_0^1 \frac{1-u^2}{D(u)} u^2 du,$$

$$D(u) = \sqrt{1+z_1 p + [z_1(1-p) + z_2 p] u^2 - z_2 p u^4}. \quad (9)$$

Результаты численного анализа неравенства (8) приведены на рис. 2, где кривая 1 описывается уравнением  $x_1=f_6(x_2)$ , а кривая 2 — уравнением  $x_1=f_7(x_2)$ . Эти функции определяются из условия равенства нулю выражения (8). Как видно из рис. 2, области устойчивости ДГ с  $\varphi_0=0, \pi/2$  (ДГ (I)) и с  $\varphi_0=\pi/4, 3\pi/4$  (ДГ(II)) перекрываются, что на практике должно привести к гистерезисным явлениям при переориентации ДГ, связанной с изменением  $x_1$  и  $x_2$  (гистерезис по температуре или внешним напряжениям [2]). Граница переориентации ДГ в области перекрытия на рис. 2 (сплошная линия) описывается уравнением  $x_1=f_8(x_2)$ , которая определена из условия равенства энергий  $E$  ДГ, для каждого типа ориентаций, имеющих вид

$$E = E_0 J_2, \quad J_2 = \int_0^1 D(u) du, \quad E_0 = 4\sqrt{AK_u}. \quad (10)$$

Таким образом, в низкотемпературной области переориентация ДГ может происходить в некотором интервале изменения  $x_1$  и  $x_2$  с гистерезисом в отличие от обычных условий ( $K_2=0$ ), когда переориентация  $180^\circ$  ДГ

происходит безгистерезисно при инверсии знака [5]. Ширина ДГ (I) в области, где не возникает метастабильная фаза  $\Phi_{100}$ , такая же, как и в случае одноосного кристалла [5], что объясняется симметрией расположения легких осей КА относительно направления [001]. В области существования метастабильной фазы  $\Phi_{100}$  (рис. 1, 2) в структуре  $180^\circ$  ДГ появляются «перетяжки», служащие зародышами образования  $90^\circ$  ДГ [13], и ее ширину определяют выражением

$$\Delta = \Delta_0 \left[ \frac{2\theta_1}{\sin \theta_1 D(\sin \theta_1)} + \int_{\theta_1}^{\pi - \theta_1} \frac{d\theta}{\sin \theta D(\sin \theta)} \right], \quad (11)$$

где  $\theta_1 = \arccos [(1+x_1)/2x_1]^{1/2}$ .

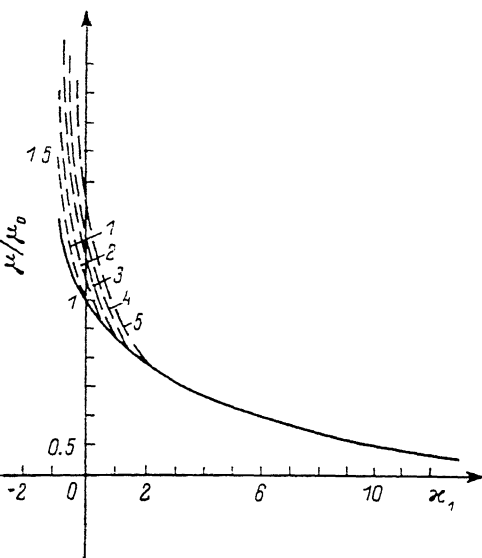


Рис. 3. Зависимости подвижности ДГ от  $x_1$ ,  $x_2$  и  $\varphi_0$ .

Сплошная кривая соответствует подвижности ДГ (I), штриховая — ДГ (II), причем  $x_2=0$  (1),  $-3$  (2),  $-6$  (3),  $-9$  (4),  $-12$  (5).

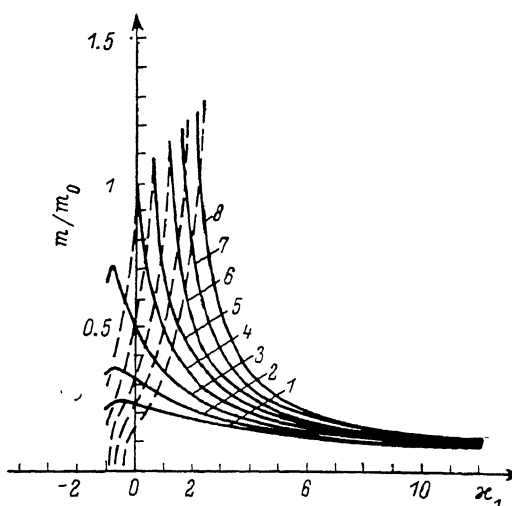


Рис. 4. Зависимости массы ДГ от  $x_1$ ,  $x_2$  и  $\varphi_0$ .  $\alpha=0.1$ ,  $Q=2$ .

Сплошная кривая соответствует  $m$  для ДГ (I), штриховая — для ДГ (II), причем  $x_2=12$  (1),  $8$  (2),  $4$  (3),  $0$  (4),  $-3$  (5),  $-6$  (6),  $-9$  (7),  $-12$  (8).

Аналогичная ситуация возникает и для ДГ (II) в области существования метастабильных фаз  $\Phi_{<}^I$  и  $\Phi_{<}^{III}$ . И в этом случае ширина ДГ описывается выражением (11), но с  $\theta_1 = \arcsin \sqrt{s_1}$  (см. формулу (4)). Причем ДГ (II) имеет более сложную структуру, а именно содержит двойную «перетяжку» (т. е. профиль стенки, описываемый зависимостью  $\theta=\theta(y)$ , имеет пять точек перегиба). Отметим, что при  $x_2=0$  в структуре ДГ (II) «перетяжки» отсутствуют [13]. Вместе с тем в области существования границ с перетяжками возможны решения уравнения (7), описывающие магнитные неоднородности типа «статических солитонов» аналогично [13].

3. Рассмотрим также некоторые динамические свойства  $180^\circ$  ДГ с  $M \parallel [001]$  в доменах. Для этого запишем уравнения Ландау—Лифшица с учетом внешнего поля  $H \parallel Oz$  в канонических переменных  $q$  и  $\varphi$ , где  $q$  — координата центра стенки [14]. При этом будем считать, что при движении ДГ ее «статическая» структура не меняется ( $Q=K_u/2\pi M_s^2 \gg 1$ ). Тогда уравнения движения стенки в форме Слончевского записутся в виде

$$\dot{q} - \alpha \Delta_0 \dot{\varphi} J_1 = v_w [J_1 \sin 2\varphi + R \sin 4(\varphi - \varphi_0)],$$

$$\dot{\varphi} + \frac{\alpha \dot{q}}{\Delta_0} J_2 = \gamma H, \quad J_1 = \int_0^1 \frac{du}{D(u)}, \quad (12)$$

где  $R = (x_1 J_3 + x_2 J_4) Q/2$ ,  $v_w = 2\pi M_s \gamma \Delta_0$  — уокеровская предельная скорость ДГ в одноосном кристалле [14],  $\gamma$  — гиromагнитное отношение,  $\alpha$  — параметр затухания. Согласно [14], система уравнений (12) справедлива в двух предельных случаях: 1) для малых скоростей,  $q \ll v_w$ ; 2) для малых значений  $x_1$  и  $x_2$ . Рассматривая стационарное движение ДГ для малых скоростей, в (12) положим  $\dot{\phi} = 0$ ,  $\dot{q} = v = \text{const}$ . Тогда подвижность ДГ примет вид  $\mu = \mu_0 J_2^{-1}$ , где  $\mu_0 = \gamma \Delta_0 / \alpha$  — подвижность ДГ в одноосном кристалле [14]. Как видно из рис. 3, для ДГ (I) подвижность не зависит от  $x_2$  и для случая  $x_1 > 0$  совпадает с подвижностью ДГ в высокотемпературной области [15]. При  $x_1 < 0$  в отличие от высокотемпературной области ДГ (I) существует и ее подвижность всегда меньше подвижности ДГ (II), причем в последнем случае при увеличении  $x_2$  возрастает  $\mu$ . Резкое же увеличение подвижности для ДГ (II) можно объяснить характером вклада КА в общий вращательный момент стенки, который в области  $K_1 < 0$ ,  $K_1 + 4K_2/9 < 0$  и  $0 < K_1 < -K_2/9$  [11] из-за наличия в плоскости ДГ легких осей КА типа  $\langle 111 \rangle$ , которые облегчают вращение спинов.

Следует отметить, что в случае стационарного движения ДГ и в низкотемпературной области выполняется соотношение

$$\mu_0 E_0 = \mu E, \quad (13)$$

справедливость которого при  $x_2 = 0$  была установлена в работе [16], и согласуется с известными экспериментальными результатами [14].

Исследуя систему уравнений (12) для случая  $x_1, x_2 \ll 1$ , найдем предельные скорости  $v_m$  и угол выхода вектора М из плоскости стенки  $\varphi_m$ , которые имеют вид

$$v_m = v_w \frac{(3 + \sqrt{1 + 32R^2})^{3/2}}{4(1 + \sqrt{1 + 32R^2})^{1/2}}, \quad \varphi_m = \frac{1}{2} \arccos \left( \frac{4R \cos 4\varphi_1}{1 + \sqrt{1 + 32R^2}} \right). \quad (14)$$

Из полученных выражений видно, что при возрастании  $x_2$  предельная скорость увеличивается, а  $\varphi_m$  уменьшается, причем при  $R \gg 1$  (это возможно при условии  $2\pi M_s^2 \ll K_1, K_2 \ll K_u$ )  $\varphi_m \rightarrow \pi/8$ , что характерно для кубических кристаллов [13].

Важной характеристикой высокочастотных свойств ДГ является ее масса, которую можно получить из уравнений (12), рассматривая малые колебания стенки ( $\varphi \ll 1$ ), под действием квазиупругой силы [14]. Она равна

$$m = m_0 \frac{1 + \alpha^2 J_1 J_2}{(1 + \alpha^2)(J_1 + 2R \cos 4\varphi_1)}, \quad (15)$$

где  $m_0 = (1 + \alpha^2)/(2\pi \gamma^2 \Delta_0)$  — масса ДГ в одноосном кристалле. Численные расчеты по формуле (15) показывают (рис. 4), что для ДГ (I) с уменьшением  $x_2$  масса стенки увеличивается и достигает максимальной величины по  $x_1$  на границе области ее устойчивости. При  $x_2 \geq 4$  переориентации ДГ не происходит (рис. 2), однако на зависимости  $m = m(x_1, x_2, \varphi_0)$  наблюдаются пики, что объясняется частичной компенсацией вращательных моментов, действующих на спины [12]. Для ДГ (II) ситуация меняется на обратное, и с уменьшением  $x_2$  масса  $m$  также уменьшается, при этом масса стенки более «чувствительна» к изменению параметров  $x_1$  и  $x_2$ . Максимальное значение  $m$  для ДГ (II) также достигается на границе области ее устойчивости, однако оно не совпадает с  $\max\{m\}$  для ДГ (I) из-за перекрытия областей существования обоих типов ДГ. Точка пересечения сплошных и штриховых кривых при одинаковых значениях параметра  $x_2$  на рис. 4 соответствует переориентации ДГ (рис. 2, сплошная кривая). В этом случае  $R = 0$  и  $\varphi_m = \pi/4$ , что соответствует ситуации одноосного кристалла. Это можно объяснить компенсацией вращательных моментов, обусловленных двумя типами слагаемых (с  $K_1$  и  $K_2$ ) в выражении (1) для плотности энергии КА. Следует отметить, что вблизи СПФП I рода (участок кривой  $x_1 = f_1(x_2)$  для  $x_2 < -3$  на рис. 1)  $m \rightarrow 0$ . Это объясняется тем, что при приближении к линии СПФП I рода в структуре ДГ появляются «пере-

тяжки» и она деформируется, а на самой линии фазового перехода понятие ДГ теряет смысл.

Таким образом, в области низких температур в кубических кристаллах возникают новые магнитные фазы и фазовые переходы между ними типа спиновой переориентации, индуцированные внешними напряжениями. Это существенно сказывается на статических и динамических свойствах ДГ: возникает область гистерезиса по температуре или давлению при ее переориентации, появляются особенности в структуре стенки (в частности, двойные «перетяжки») и значительно меняется поведение динамических характеристик ДГ как на границе ее переориентации, так и вблизи СПФП I рода.

#### Список литературы

- [1] Беляева А. И., Антонов А. В., Егизарян Г. С., Юрьев В. П. // ФТТ. 1980. Т. 22. № 6. С. 1621—1628.
- [2] Власко-Власов В. К., Дедух Л. М., Инденбом М. В., Никитенко В. И. // ЖЭТФ. 1983. Т. 84. № 1. С. 277—288.
- [3] Беляева А. И., Антонов А. В., Егизарян Г. С., Юрьев В. П. // ФТТ. 1982. Т. 24. № 7. С. 2191—2197.
- [4] Кандаурова Г. С., Памятных Л. А. // Письма в ЖТФ. 1982. Т. 8. № 10. С. 600—604.
- [5] Вахитов Р. М., Сабитов Р. М., Фарзтдинов М. М. // ФТТ. 1985. Т. 27. № 6. С. 1852—1856.
- [6] Логунов М. В., Рандошкин В. В., Сигачев В. Б. // ФТТ. 1987. Т. 29. № 8. С. 2247—2254.
- [7] Лисовский Ф. В., Логиков А. С., Непокойчицкий Г. А., Розанова Т. Б. // Письма в ЖЭТФ. 1987. Т. 45. № 7. С. 339—342.
- [8] Коваленко В. Ф., Нагаева Э. П. // УФН. 1986. Т. 148. № 4. С. 561—602.
- [9] Бучельников В. Д., Шавров В. Г. // ФТТ. 1981. Т. 23. № 5. С. 1296—1301.
- [10] Белов К. П. Редкоземельные магнетики и их применение. М., 1980. 240 с.
- [11] Simsova J., Krupicka S., Marysko M., Tomas I. // Acta Phys. Slov. 1981. V. 31. N 2—3. P. 121—125.
- [12] Белов К. П., Звездин А. К., Кадомцева А. И., Левитин Р. З. Ориентационные переходы в редкоземельных магнетиках. М., 1979. 320 с.
- [13] Сабитов Р. М., Вахитов Р. М. // Изв. вузов, физика. 1988. Т. 31. № 8. С. 51—56.
- [14] Малоземов А., Слонзуски Дж. Доменные стенки в материалах с цилиндрическими магнитными доменами: Пер. с англ. М., 1982. 384 с.
- [15] Вахитов Р. М., Сабитов Р. М., Фарзтдинов М. М. // ЖТФ. 1986. Т. 56. № 9. С. 1823—1827.
- [16] Вахитов Р. М., Сабитов Р. М. // Тез. докл. XI Всес. школы-семинара «Новые магнитные материалы микроэлектроники». Ташкент, 1988. С. 258—259.

Башкирский государственный университет  
Уфа

Поступило в Редакцию  
22 сентября 1988 г.  
В окончательной редакции  
9 февраля 1989 г.